

01;05.1

## Закономерности прохождения плоской волны дефектов через границу раздела двух вязкопластических сред

© Н.В. Чертова, Ю.В. Гриняев

Институт физики прочности и материаловедения СО РАН, Томск  
E-mail: chertova@ms.tsc.ru

Поступило в Редакцию 18 июня 2003 г.

На основе динамических уравнений континуальной теории дефектов получены соотношения, определяющие законы отражения и преломления плоской волны поля дефектов на границе раздела двух вязкопластических сред. Определены коэффициенты отражения и преломления, связывающие амплитуды отраженной и преломленной волн с амплитудой падающей волны. На основе полученных выражений рассмотрен частный случай сред со слабо затухающими волнами.

Продолжая исследования [1,2], где на основе полевой теории дефектов были рассмотрены закономерности распространения плоских волн поля дефектов в вязкопластической среде и исследована структура этих волн, учтем поверхность раздела двух сред. Многочисленные результаты [3–5] свидетельствуют об особой роли границ раздела в процессах деформирования, поэтому изучение поведения материалов под нагрузкой при наличии поверхности раздела представляет важную задачу механики деформируемого тела.

Как показано в работах [1,2], поле дефектов в вязкопластической среде, определяемое соотношением

$$\sigma = \eta I, \quad (1)$$

удовлетворяет системе динамических уравнений полевой теории дефектов

$$\begin{aligned} \nabla \cdot \hat{I} &= 0, & \nabla \cdot \hat{\alpha} &= 0, \\ \frac{\partial \hat{\alpha}}{\partial t} &= \nabla \times \hat{I}, & S(\nabla \times \hat{\alpha}) &= -B \frac{\partial \hat{I}}{\partial t} - \hat{\sigma}, \end{aligned} \quad (2)$$

которая в данном случае записана относительно векторов-строк соответствующих тензорных величин  $\hat{I}_i = [I_{ix}, I_{iy}, I_{iz}]$ ,  $\hat{\alpha}_i = [\alpha_{ix}, \alpha_{iy}, \alpha_{iz}]$ ,

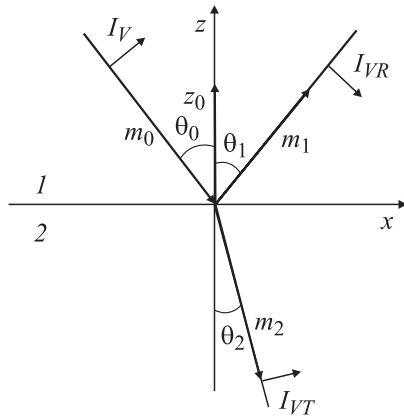


Рис. 1. Отражение и преломление плоской волны на границе раздела двух сред.

$\hat{\sigma}_i = [\sigma_{ix}, \sigma_{iy}, \sigma_{iz}]$ . Здесь  $\eta$  — тензор коэффициентов вязкости;  $\alpha, I$  — тензоры плотности и плотности потока дислокаций;  $\sigma$  — эффективные напряжения;  $B, S$  — константы теории; знаки  $(\cdot), (\times)$  обозначают скалярное и векторное произведение. Чтобы определить характеристики поля дефектов по заданным начальным значениям однозначно, необходимо дополнить предыдущие уравнения граничными условиями, которые можно получить известным способом [6]. Будем считать, что нормальные  $\hat{I}_n, \hat{\alpha}_n$  и касательные  $\hat{I}_t, \hat{\alpha}_t$  компоненты характеристик поля дефектов на границе раздела удовлетворяют условиям

$$\begin{aligned} \hat{I}_n^1 - \hat{I}_n^2 &= 0, & \hat{\alpha}_n^1 - \hat{\alpha}_n^2 &= 0, \\ \hat{I}_t^1 - \hat{I}_t^2 &= 0, & S_1 \hat{\alpha}_t^1 - S_2 \hat{\alpha}_t^2 &= 0. \end{aligned} \quad (3)$$

Предположим, что граница раздела двух однородных сред совпадает с плоскостью  $z = 0$  в декартовой системе координат. Среды, расположенные сверху ( $z > 0$ ) и снизу ( $z < 0$ ) от границы, характеризуются соответственно параметрами  $B_1, S_1, \eta_1$  и  $B_2, S_2, \eta_2$ . На границу раздела из первой среды падает плоская волна под углом  $\theta_0$  к оси  $z$  (рис. 1) с частотой  $\omega$  и волновым вектором  $K_0 = k_1 m_0$ , где  $k_1 = \omega/V_1, m_0$  — единичный вектор нормали к фронту падающей волны. Плоскость падения, содержащую вектор  $K_0$  и ось  $z$ , будем считать

плоскостью  $xz$ . Волновой вектор отраженной волны обозначим через  $K_1 = k_1 m_1$ , преломленной — через  $K_2 = k_2 m_2$ ,  $z_0$  — единичный вектор нормали к границе. Согласно [1,2], поле дефектов можно записать следующим образом:

для падающей волны

$$\hat{I} = \hat{I}_0 \exp(-i\omega t + ik_1 m_0 r), \quad \hat{\alpha} = [m_0 \hat{I}_0] Z_1 \exp(-i\omega t + ik_1 m_0 r), \quad (4)$$

для отраженной

$$\hat{I}_R = \hat{I}_1 \exp(-i\omega t + ik_1 m_1 r), \quad \hat{\alpha}_R = [m_1 \hat{I}_1] Z_1 \exp(-i\omega t + ik_1 m_1 r) \quad (5)$$

и преломленной

$$\hat{I}_T = \hat{I}_2 \exp(-i\omega t + ik_2 m_2 r), \quad \hat{\alpha}_T = [m_2 \hat{I}_2] Z_2 \exp(-i\omega t + ik_2 m_2 r). \quad (6)$$

Здесь  $Z_1 = 1/V_1$ ,  $Z_2 = 1/V_2$ . Скорости распространения волн  $V_1$ ,  $V_2$  определяются подобными выражениями, записанными ниже без индексов

$$V = \sqrt{\frac{S}{B} / \left(1 + \frac{i\eta}{B\omega}\right)} = C / \sqrt{1 + i \operatorname{tg} \delta} = C / (n + i\chi),$$

где  $n$ ,  $\chi$  — показатели преломления и поглощения,  $\operatorname{tg} \delta = \eta/B\omega$  — тангенс угла потерь,  $C = \sqrt{S/B}$ . Из граничных условий (3) относительно касательных компонент суммарного волнового поля  $\hat{\alpha}$  и  $\hat{I}$

$$[z_0 I_0] \exp(iK_0 r) + [z_0 I_1] \exp(iK_1 r) = [z_0 I_2] \exp(iK_2 r), \quad (7)$$

$$[z_0 [m_0 I_0]] \exp(iK_0 r) + [z_0 [m_1 I_1]] \exp(iK_1 r) = \frac{S_2 Z_2}{S_1 Z_1} [z_0 [m_2 I_2]] \exp(iK_2 r)$$

вытекает, что фазовые множители должны удовлетворять условиям

$$k_1 m_0 r|_{z=0} = k_1 m_1 r|_{z=0} = k_2 m_2 r|_{z=0}$$

или

$$k_1 \sin \theta_0 = k_1 \sin \theta_1 = k_2 \sin \theta_2.$$

Отсюда следует, что угол отражения  $\theta_1$  равен углу падения  $\theta_0$  (закон отражения)

$$\theta_0 = \theta_1, \quad (8)$$

а синусы углов преломления и падения связаны соотношением

$$\frac{\sin \theta_2}{\sin \theta_0} = \frac{k_1}{k_2} = \frac{V_2}{V_1}, \quad (9)$$

представляющим закон преломления. Чтобы определить амплитуды отраженной и преломленной волн, обратимся вновь к уравнениям (7). При этом рассмотрим волны двух различных линейных поляризаций: горизонтально поляризованную волну с вектором  $\vec{I}$ , ненулевые компоненты которого перпендикулярны плоскости падения ( $I_{xi} = I_{zi} = 0, I_{yi} \neq 0$ ), и вертикально поляризованную волну с вектором  $\vec{I}$ , компоненты которого принадлежат плоскости падения ( $I_{yi} = 0, I_{xi} \neq 0, I_{zi} \neq 0$ ). В первом случае для неизвестных амплитуд  $I_1, I_2$  получим

$$I_0 + I_1 = I_2, \quad S_1 Z_1 (I_0 - I_1) \cos \theta_0 = S_2 Z_2 I_2 \cos \theta_2. \quad (10)$$

Решая (10), найдем коэффициенты, связывающие амплитуды отраженной и преломленной волн с амплитудой падающей волны

$$R_g = R_{\perp} = \frac{S_1 Z_1 \cos \theta_0 - S_2 Z_2 \cos \theta_2}{S_1 Z_1 \cos \theta_0 + S_2 Z_2 \cos \theta_2},$$

$$T_g = T_{\perp} = \frac{2 S_1 Z_1 \cos \theta_0}{S_1 Z_1 \cos \theta_0 + S_2 Z_2 \cos \theta_2}, \quad (11)$$

где  $R_g = I_1/I_0, T_g = I_2/I_0$ . Для вертикально поляризованной волны система уравнений (7) примет вид

$$(I_0 - I_1) \cos \theta_0 = I_2 \cos \theta_2, \quad S_1 Z_1 (I_0 + I_1) = S_2 Z_2 I_2 \quad (12)$$

и коэффициенты, связывающие амплитуды трех волн, известные в электродинамике как коэффициенты Френеля [7], запишутся в виде

$$R_v = R_{\parallel} = \frac{S_2 Z_2 \cos \theta_0 - S_1 Z_1 \cos \theta_2}{S_2 Z_2 \cos \theta_0 + S_1 Z_1 \cos \theta_2},$$

$$T_v = T_{\parallel} = \frac{2 S_1 Z_1 \cos \theta_0}{S_2 Z_2 \cos \theta_0 + S_1 Z_1 \cos \theta_2}. \quad (13)$$

Учитывая (9), выражения (11), (13) можно записать как функции угла падения. При нормальном падении, когда  $\theta_0 = 0$ ,

$$R_g = \frac{S_1 Z_1 - S_2 Z_2}{S_1 Z_1 + S_2 Z_2} = -R_v.$$

Проанализируем общие выражения (11), (13) в частном случае: рассмотрим среды, волны в которых испытывают слабое затухание  $\operatorname{tg} \delta_1 \ll 1$ ,  $\operatorname{tg} \delta_2 \ll 1$ , поэтому отношение

$$\frac{V_2}{V_1} = \frac{C_2}{C_1} \sqrt{\frac{1 + i \operatorname{tg} \delta_1}{1 + i \operatorname{tg} \delta_2}} \cong \frac{C_2}{C_1} = \sqrt{\frac{S_2 B_1}{S_1 B_2}}$$

является действительным. Коэффициенты отражения и преломления (11)–(13) при  $V_2/V_1 < 1$  также действительны, т.е. сдвиг фаз между падающей и отраженной волнами равен нулю либо  $\pi$ . На рис. 2, *a, b* приведены зависимости  $R_g(\theta_0)$  и  $R_v(\theta_0)$ , обозначенные римскими цифрами I, II, III, для различных соотношений параметров модели:  $S_1/S_2 > V_2/V_1$ ,  $S_1/S_2 = 1$ ,  $S_1/S_2 < V_2/V_1$  при условии  $V_2/V_1 < 1$ . График  $R_g(\theta_0)$  не имеет особенностей и обращается в нуль лишь при  $V_2/V_1 = 1$  и  $S_1/S_2 = 1$ , когда свойства обеих сред идентичны, т.е. отражение исчезает вместе с исчезновением границы раздела. Коэффициент  $R_v(\theta_0)$ , определяемый также в виде

$$R_v = \frac{S_2 \sin \theta_0 \cos \theta_0 - S_1 \sin \theta_2 \cos \theta_2}{S_2 \sin \theta_0 \cos \theta_0 + S_1 \sin \theta_2 \cos \theta_2} = \frac{\operatorname{tg}(\theta_0 - \varphi)}{\operatorname{tg}(\theta_0 + \varphi)},$$

кроме условий  $V_2/V_1 = 1$ ,  $S_1/S_2 = 1$  имеет особенность при

$$\theta_0 + \varphi = \frac{\pi}{2}, \quad \text{где } \varphi = \frac{1}{2} \arcsin(S_1/S_2 \sin 2\theta_2). \quad (14)$$

Рассматривая совместно (14), (9), можно определить угол падения

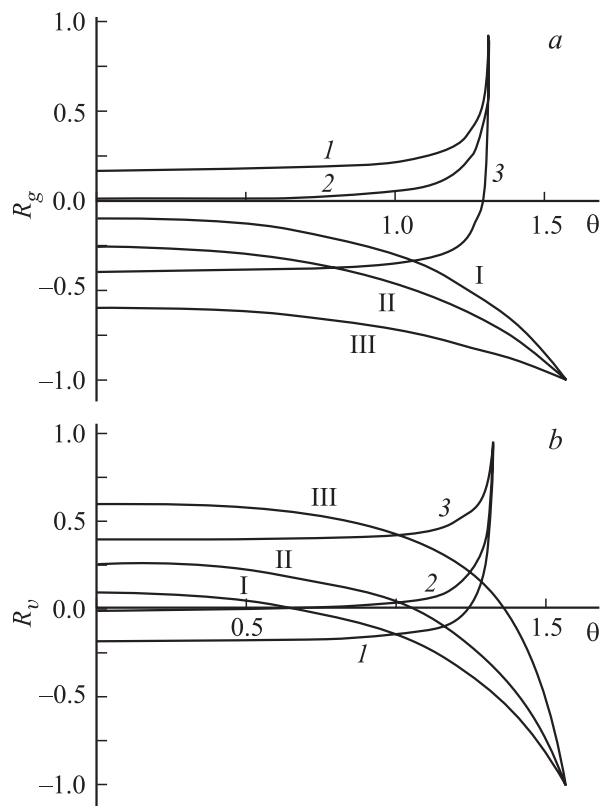
$$\theta_0^* = \arcsin \sqrt{[(V_2/V_1)^2 - (S_2/S_1)^2] / [(V_2/V_1)^4 - (S_2/S_1)^2]},$$

при котором эта особенность имеет место. Угол  $\theta_0^*$  является углом полной поляризации, поскольку произвольно ориентированная волна, падающая под этим углом, отражается горизонтально поляризованной.

Если отражение происходит на границе сред, удовлетворяющих условию  $V_2/V_1 > 1$ , при котором, согласно (9),  $\theta_2 > \theta_0$ , то при  $\sin \theta_0 > V_1/V_2$

$$\cos \theta_2 = \sqrt{1 - (V_2/V_1)^2 \sin^2 \theta_0} = \pm i \sqrt{(V_2/V_1)^2 \sin^2 \theta_0 - 1} \quad (15)$$

является мнимой величиной. Этот случай соответствует полному внутреннему отражению от границы раздела двух вязких сред. Угол  $\theta_0$ ,



**Рис. 2.** Зависимость коэффициентов отражения  $R_g$  (a) и  $R_v$  (b) от угла падения. Цифрами I, II, III обозначены кривые, полученные при условии  $V_2/V_1 = 0.6 < 1$ , зависимости 1, 2, 3 получены при  $V_2/V_1 = 1.033 > 1$ . В обоих случаях  $S_1/S_2 = 1.43$  (I, I),  $S_1/S_2 = 1$  (II, 2),  $S_1/S_2 = 0.43$  (III, 3).

удовлетворяющий условию

$$\sin \theta_0 = \frac{V_1}{V_2}, \quad (16)$$

называется углом полного внутреннего отражения. При этом  $\sin \theta_2 = 1$  и преломленная волна распространяется параллельно границе раздела двух сред. Выясним структуру преломленной волны для углов падения,

больших или равных предельному, более подробно. Учитывая (15), преломленная волна (6) будет иметь вид

$$\hat{I}_T = \hat{I}_2 \exp \left[ -i(\omega t - k_1 \sin \theta_0 x) - |z| k_2 \sqrt{(V_2/V_1)^2 \sin^2 \theta_0 - 1} \right].$$

Это выражение описывает плоскую неоднородную волну, фаза которой меняется вдоль оси  $x$ , а амплитуда убывает по экспоненте в направлении оси  $z$ .

На рис. 2,  $a, b$  коэффициенты отражения  $R_g(\theta_0)$ ,  $R_v(\theta_0)$ , полученные при условии  $V_2/V_1 > 1$ , обозначены арабскими цифрами 1, 2, 3. Как следует из (11), (13), в случае полного внутреннего отражения  $|R_g| = |R_v| = 1$ , т.е. для каждой компоненты горизонтальной или вертикальной поляризаций интенсивность отраженной волны дефектов равна интенсивности падающей. На основе этих же формул несложно вычислить изменение фаз отраженной и падающей волн

$$\operatorname{tg} \frac{\delta_g}{2} = \frac{-\sqrt{(V_2/V_1)^2 \sin^2 \theta_0 - 1}}{S_1 V_2 / S_2 V_1 \cos \theta_0}, \quad \operatorname{tg} \frac{\delta_v}{2} = \frac{-\sqrt{(V_2/V_1)^2 \sin^2 \theta_0 - 1}}{S_2 V_1 / S_1 V_2 \cos \theta_0}.$$

Сформулируем основные результаты работы. В ходе проведенного исследования были установлены соотношения, определяющие закономерности распространения плоских волн поля дефектов через границу раздела двух вязкопластических сред, которыми являются законы отражения и преломления, коэффициенты отражения и преломления. Было показано, что при определенном соотношении характеристик граничащих сред возможно явление полного внутреннего отражения, а также явление полной поляризации отраженной волны. В первом случае волна поля дефектов, а следовательно, и пластическая деформация распространяются вдоль поверхности раздела, не проникая в глубь второй среды. Во втором случае волна, падающая под углом  $\theta_0^*$  и имеющая произвольные ненулевые компоненты, отражается горизонтально поляризованной, т.е. имеет одну ненулевую компоненту, перпендикулярную плоскости падения.

Работа выполнена при финансовой поддержке Российского фонда фундаментальных исследований (код проекта 02-01-01188).

## Список литературы

- [1] Чертова Н.В., Гриняев Ю.В. // Письма в ЖТФ. 1999. Т. 25. В. 18. С. 91–94.
- [2] Чертова Н.В. // Письма в ЖТФ. 2003. Т. 29. В. 2. С. 83–87.
- [3] Панин В.Е. // Физ. Мезомех. 1999. Т. 2. № 6. С. 5–23.
- [4] Алехин В.П. Физика прочности и пластичности поверхностных слоев материалов. М.: Наука, 1983.
- [5] Орлов Л.Г. // ФТТ. 1967. Т. 9. № 8. С. 2345–2349.
- [6] Седов Л.И. Механика сплошной среды. Т. 1. М.: Наука, 1976.
- [7] Стрэттон Дж.А. Теория электромагнетизма. М.; Л.: ОГИЗ, 1948.